散逸性磁気流体 シミュレーション

簑島 敬 (海洋研究開発機構)

共同研究者:

廣瀬 重信(海洋研究開発機構),佐野孝好(大阪大学) 三好 隆博(広島大学),今田 晋亮(名古屋大学)

松元先生との出会い

ACT-JST Summer Seminar

天体とスペースプラズマのシミュレーションサマーセミナー

(流体・磁気流体コース、アドバンストコース、プラズマ粒子シミュレーションコース)

期日:平成15年9月8日(月)~12日(金)

会場 : 千葉大学総合メディア基盤センター

(千葉市稲毛区弥生町1-33)

講義内容

(1)流体・磁気流体コース (9/8-9/12)

第1日(9/8) イントロダクション、差分法の基礎 、実習端末の利用説明、差分法の実習

第2日(9/9) システム方程式の解法、近似的リーマン解法、

磁気流体1次元基本課題(衝撃波管など)、磁気流体2次元基本課題、応用課題紹介 第3日(9/10) 地球磁気圏のMHDシミュレーションと可視化、CIP法、SR8000,VPPの利用説明

応用課題実習

第4日(9/11) MPIによる並列化、応用課題実習

第5日(9/12) 発表準備、課題発表会

(2)流体・磁気流体アドバンストコース (9/8-9/12)

シミュレーションコード作成を目的として基本文献の輪読とコード作成実習を行う

(3) プラズマ粒子シミュレーションコース (9/8-9/9)

第1日(9/8) プラズマ粒子シミュレーションスクール概説

1次元粒子シミュレーションコードの説明・実習(差分法、PIC, 粒子速度更新法) 第2日(9/9) 1次元粒子シミュレーションコードの説明・実習(場の解法、時間フローチャート)

基本課題実習、MPIによる並列化の説明

講師 松元亮治、花輪知幸、宮路茂樹(千葉大)、柴田一成、臼井英之(京大)、 富阪幸治(国立天文台)、荻野竜樹(名大)矢部 孝、尾形陽一(東工大)

小出真路(富山大)、村田健史(愛媛大)、篠原 育(宇宙研)、

岡田雅樹(極地研)、福田尚也(岡山理科大)、野澤 恵(茨城大)、他

サマースクールの案内と参加申し込みのURL

http://www.astro.phys.s.chiba-u.ac.jp/netlab/summer-school/

E催: 宇宙シミュレーション・ネットラボラトリーシステム開発グループ

千葉大学理学部宇宙物理学研究室

共催: 科学技術振興事業団

国立天文台天文学データ解析計算センター

組織委員:松元亮治(千葉大)、松本 紘、臼井英之(京大·RASC)

柴田一成(京大・理)、富阪幸治(国立天文台)、 藤本正樹(東工大・理)、荻野竜樹(名大・STE研)

実行委員:松元亮治、花輪知幸、宮路茂樹(千葉大)、

富阪幸治、和田桂一(国立天文台)、

横山央明(東大)、福田尚也(岡山理科大)

問い合わせ:千葉大学理学部宇宙物理学研究室

TEL:043-290-2885 E-mail:s-school@astro.s.chiba-u.ac.ip





当時M1 その後紆余曲折を経て MHDシミュレーション 屋の端くれに

散逸性磁気流体方程式

$$\frac{\partial \rho}{\partial t} + \nabla \cdot (\rho \mathbf{u}) = 0,$$

$$\frac{\partial (\rho \mathbf{u})}{\partial t} + \nabla \cdot \left[\rho \mathbf{u} \mathbf{u} + \left(P + \frac{B^2}{2} \right) \mathbf{I} - \mathbf{B} \mathbf{B} - \rho \mathbf{v} \mathbf{S} \right] = 0,$$

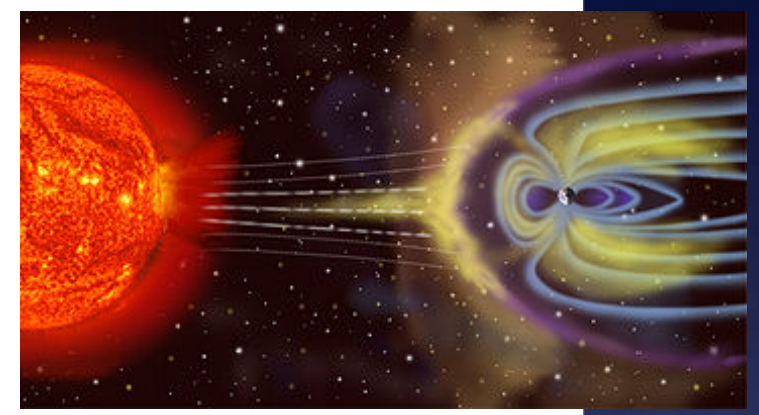
$$\frac{\partial \mathbf{B}}{\partial t} + \nabla \times \mathbf{E} = 0,$$

$$\frac{\partial \mathbf{e}}{\partial t} + \nabla \cdot \left[\left(\frac{\rho \mathbf{u}^2}{2} + \frac{\gamma \mathbf{P}}{\gamma - 1} \right) \mathbf{u} + \mathbf{E} \times \mathbf{B} - \rho \nu \mathbf{S} \cdot \mathbf{u} - \kappa \nabla \frac{\mathbf{P}}{\rho} \right] = 0,$$

$$\mathbf{E} = -\mathbf{u} \times \mathbf{B} + \eta \mathbf{j}, \mathbf{j} = \nabla \times \mathbf{B},$$

$$P = (\gamma - 1) \left(e - \frac{\rho u^2}{2} - \frac{B^2}{2} \right),$$

$$S = \sum_{i,j} \sigma_{ij} e_i e_j, \sigma_{ii} = \frac{2}{3} \left(2 \frac{\partial u_i}{\partial x_i} - \frac{\partial u_j}{\partial x_j} \right), \sigma_{ij} = \left(\frac{\partial u_i}{\partial x_j} + \frac{\partial u_j}{\partial x_i} \right).$$

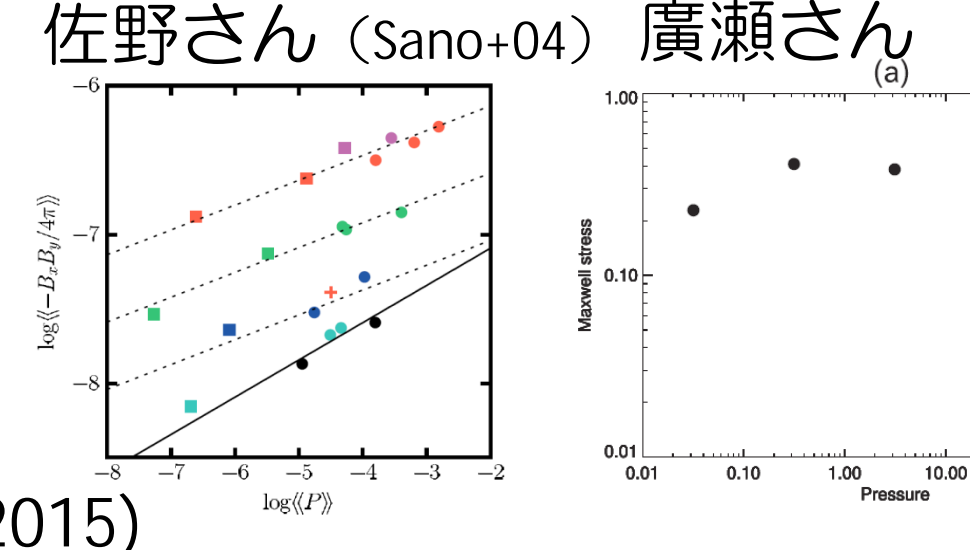


- ■電気抵抗 η
- ◎ 熱伝導 α

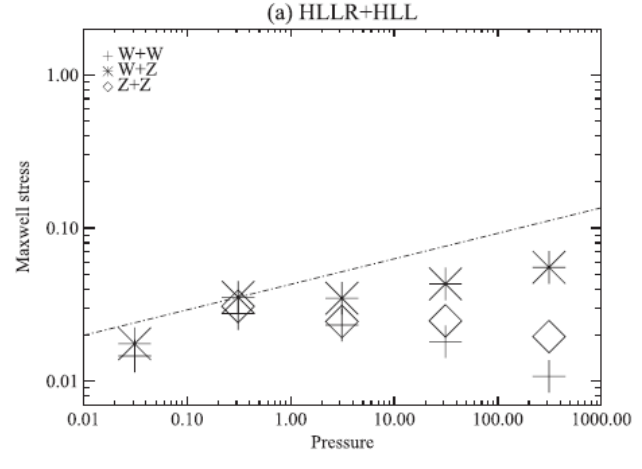
磁力線に関して 非等方な場合も

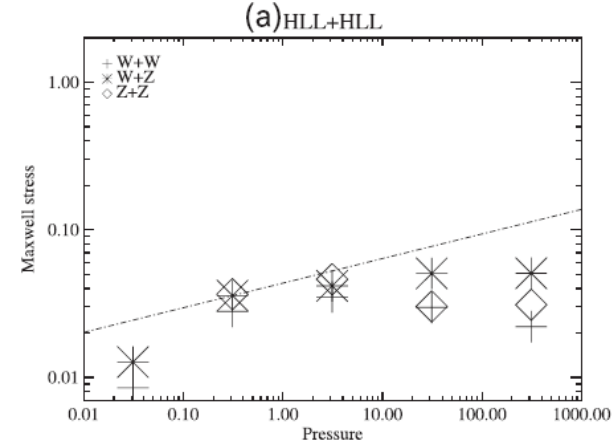
等温MRIの理想MHD計算

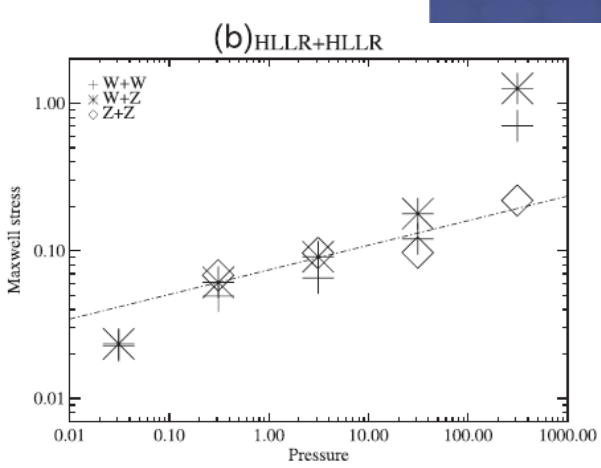
- 非線形飽和レベルの圧力依存性
- ◎成層なし



TM, Hirose, Sano (2015)

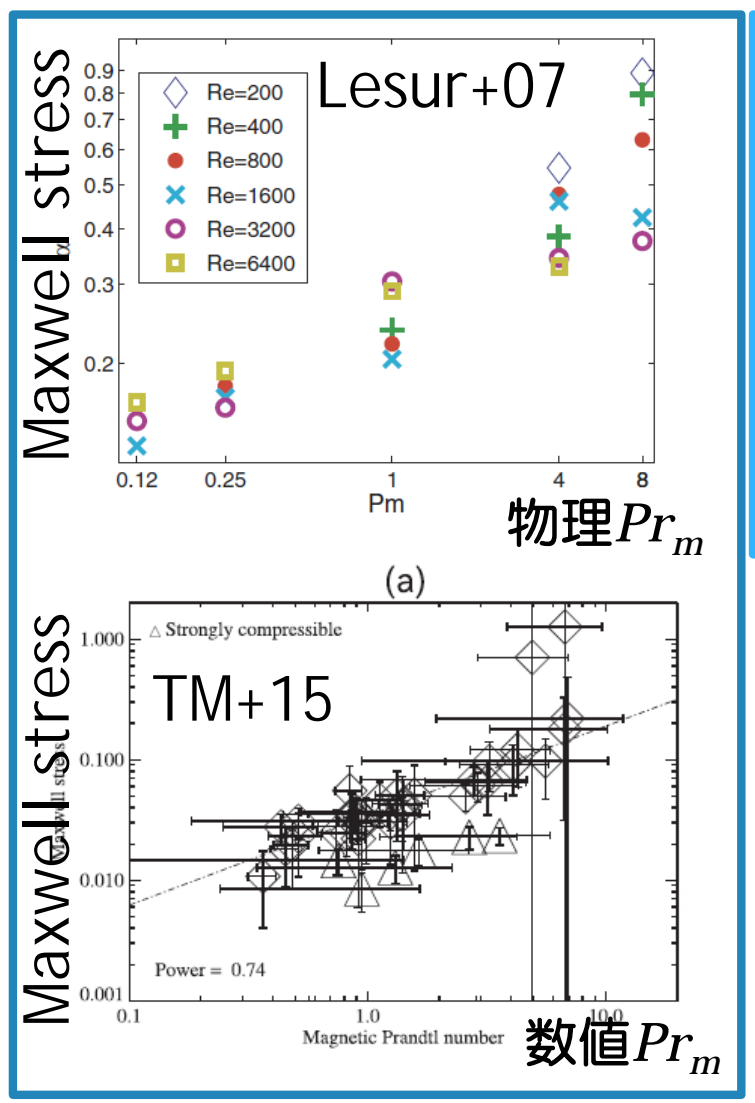


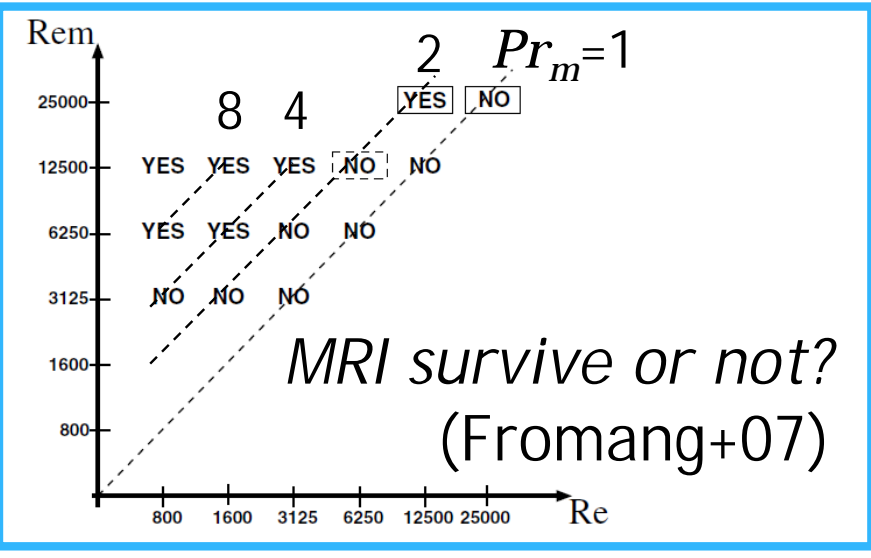




100.00

磁気ブラントル数 Prm=Wη

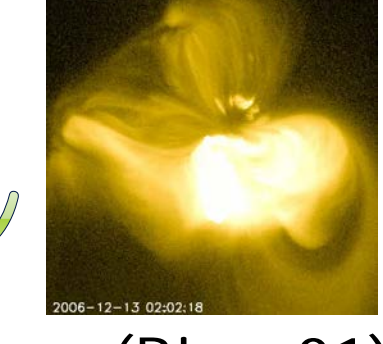




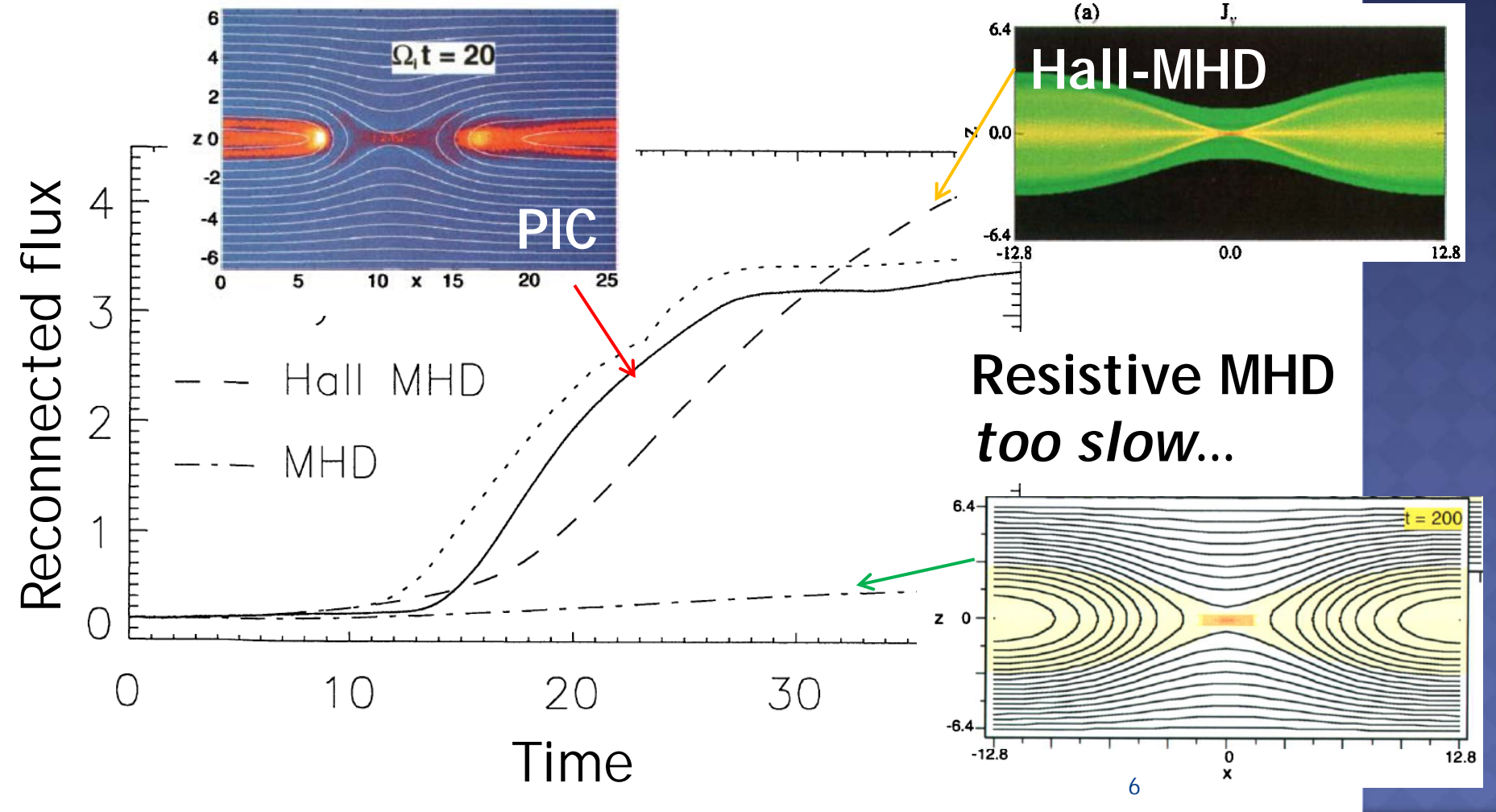
● MRIの成長 vs. 2次不安定 による散逸 (Pessah+09)

$$egin{aligned} egin{aligned} egin{aligned\\ egin{aligned} egi$$

無衝突磁気リコネクション



GEM Magnetic Reconnection Challenge (Birn+01)



抗散追程

● 運動量輸送

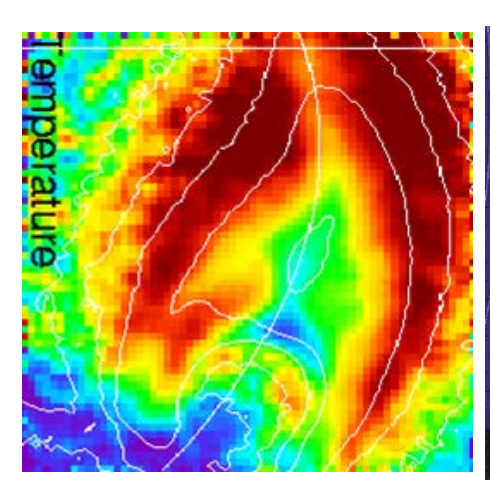
- 粘性(Baty+09)
- イオン拡散領域+電子拡散領域

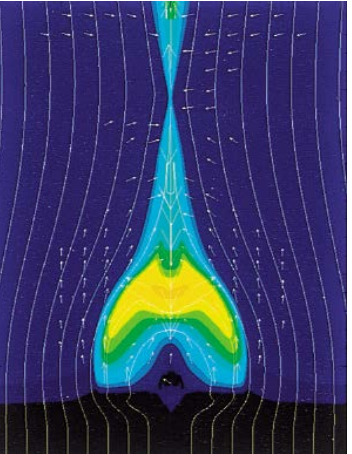
(A) Quadrupole magnetic field (F) Pedestal (G) E & magnetic field (C) Electron current layer (E) Electron diamagnetic jet

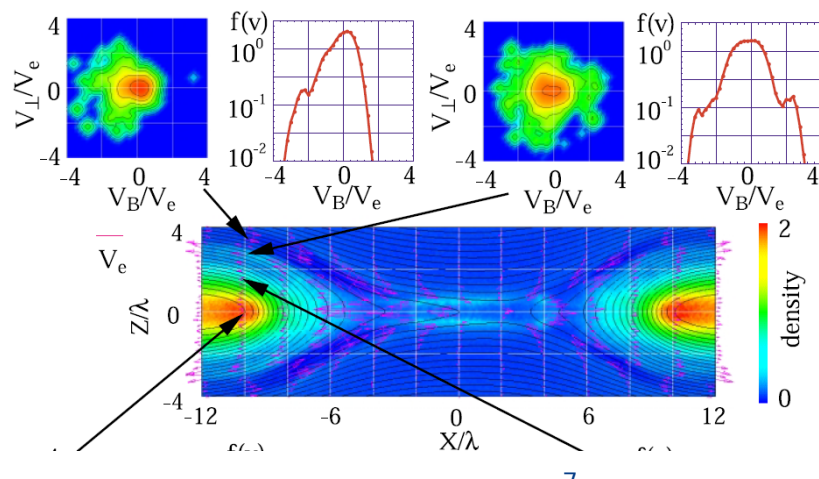
(Zenitani+11)

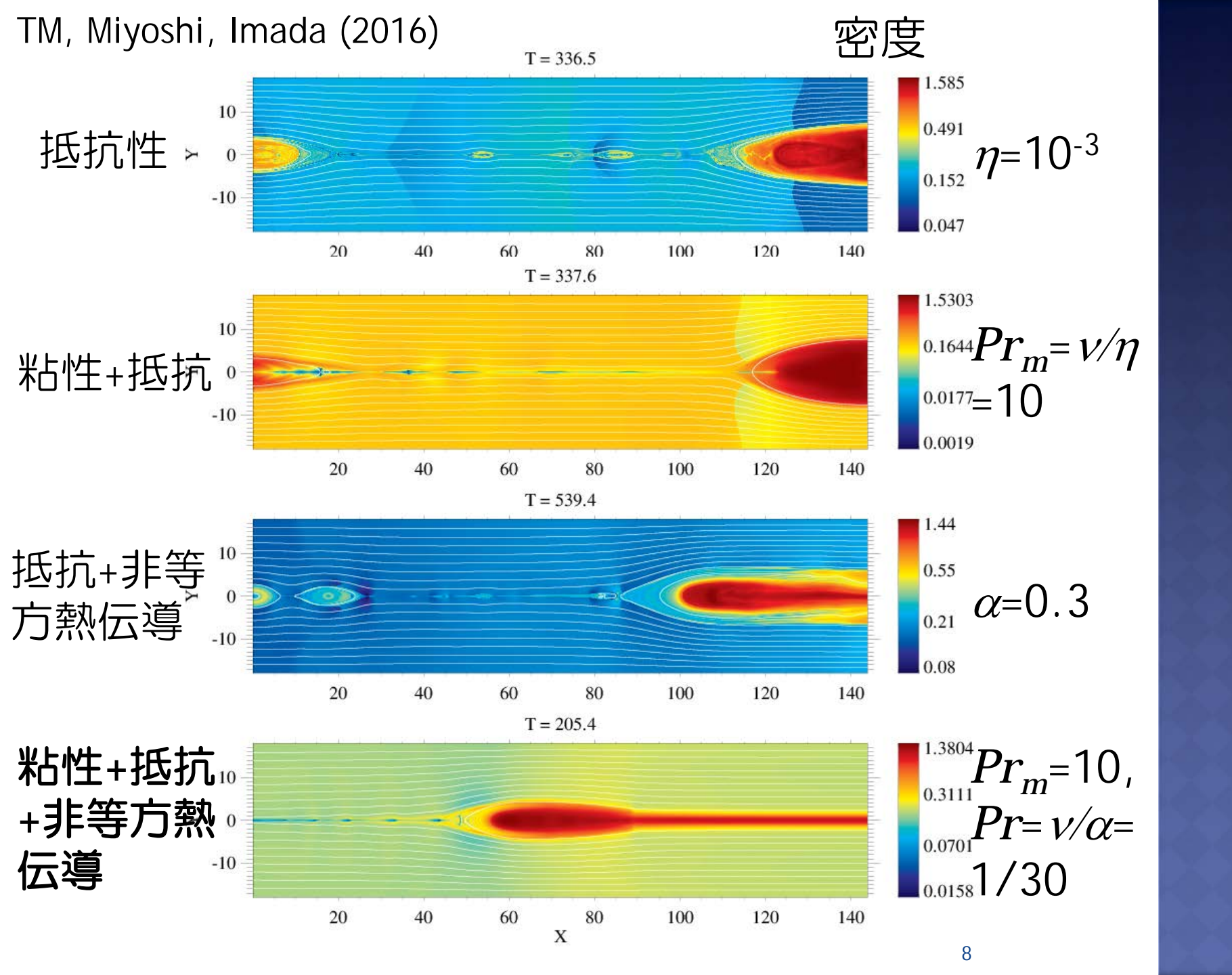
◎ 熱輸送

- 非等方熱伝導 (Tsuneta+96; Yokoyama+97; Chen+99)
- 治磁力線ビーム (Hoshino+01; Fujimoto+06; Imada+07)

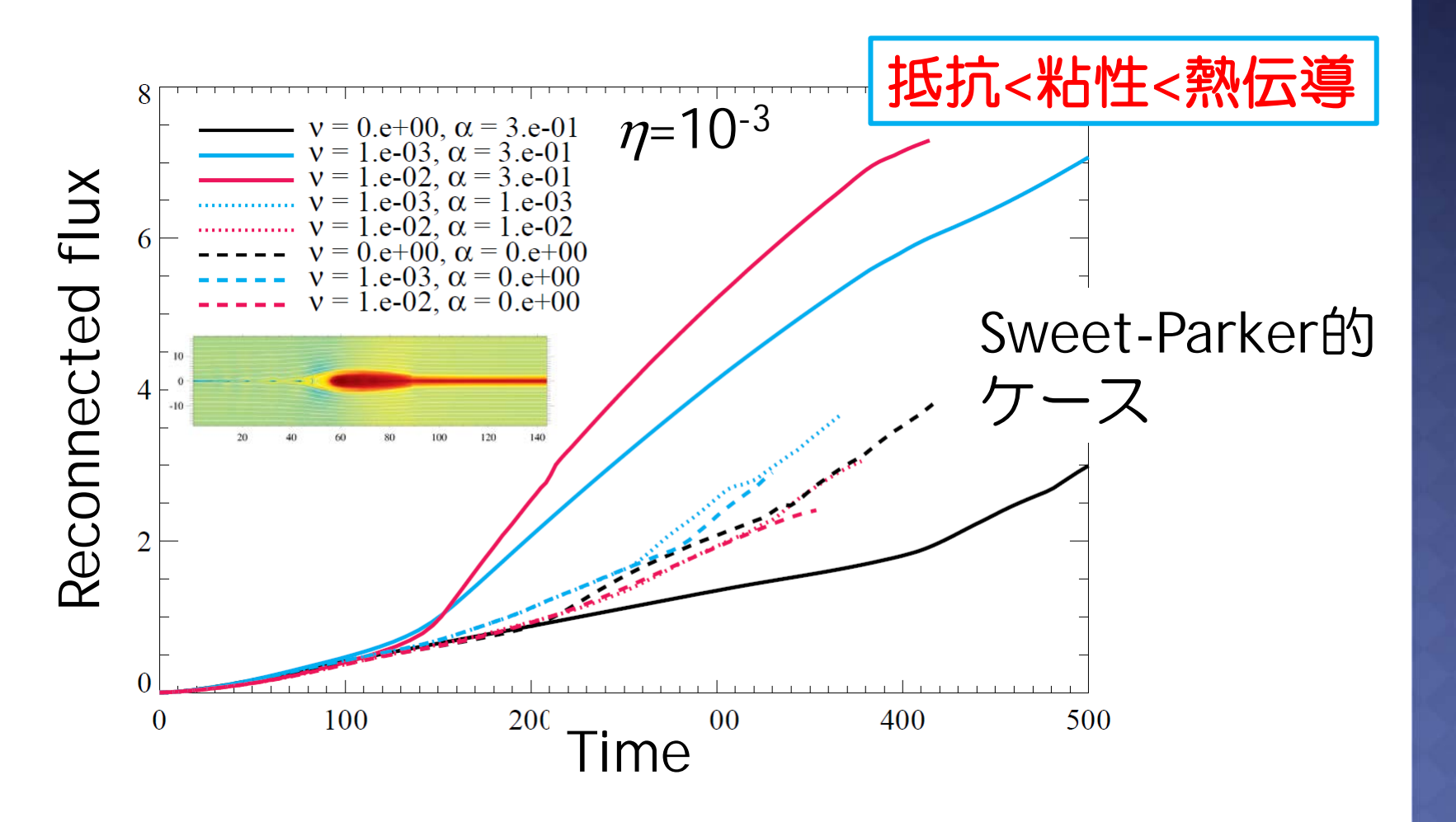




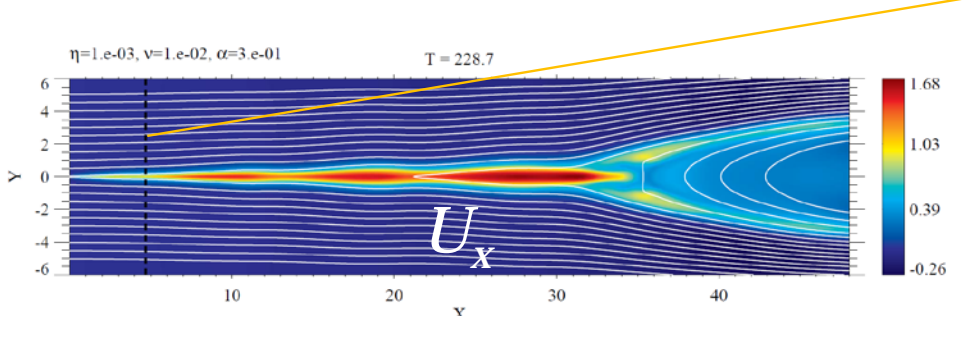


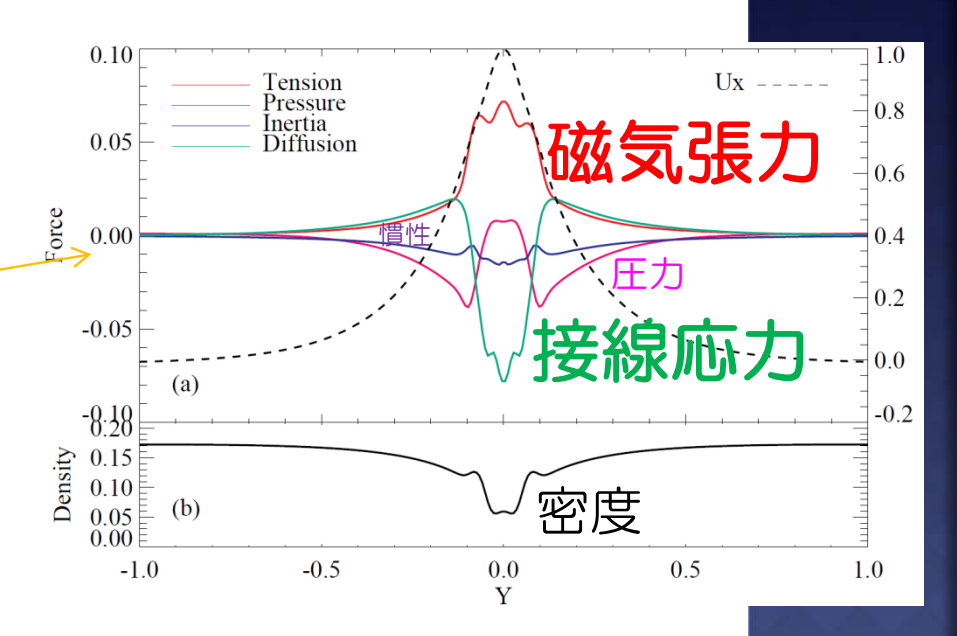


Reconnected Flux @ X-point



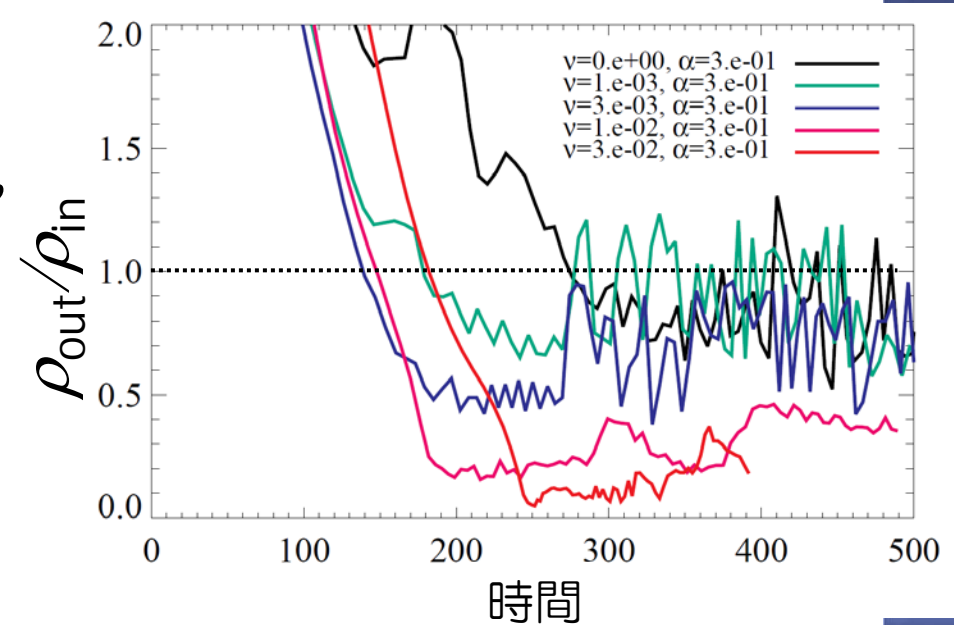
Outflow Dynamics





◎磁気張力 = 接線応力

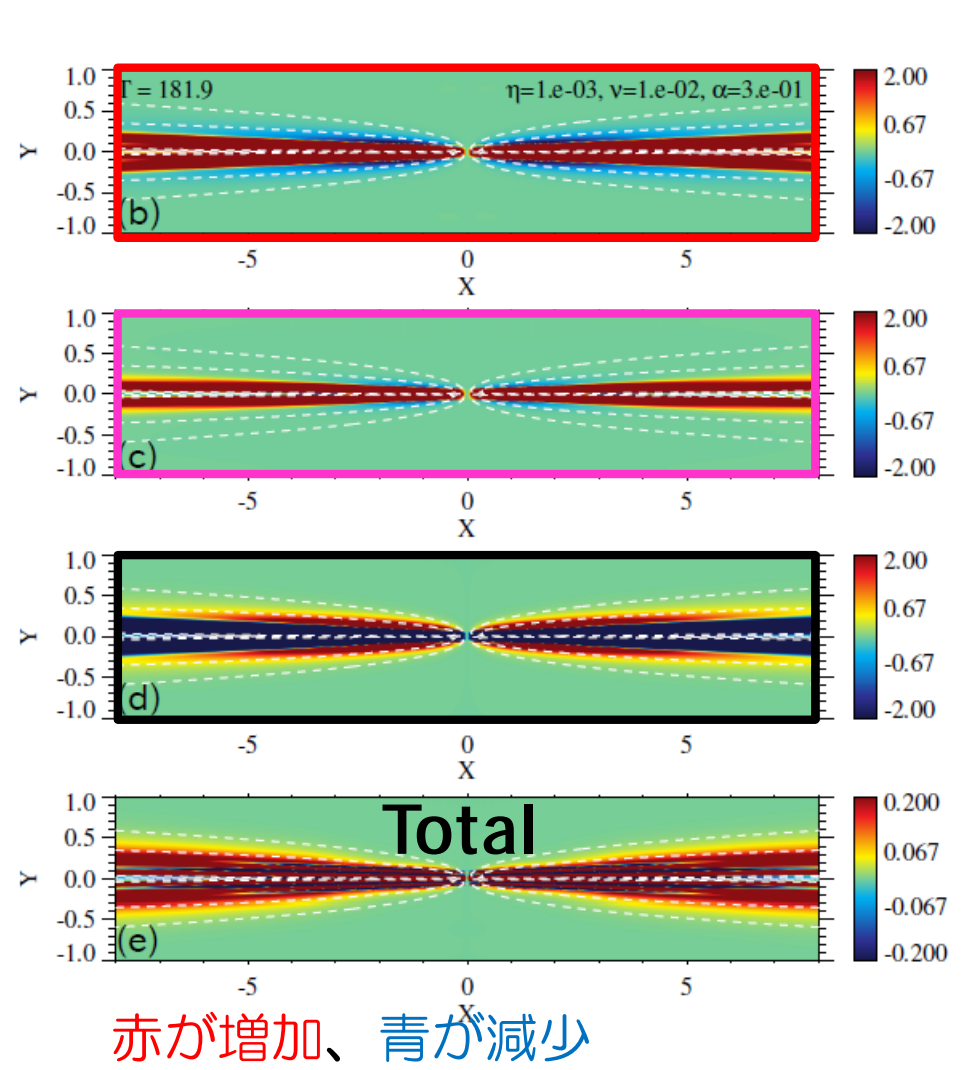
$$B_{in}B_{out} = v\rho_{out}u_{out}/\delta,$$
 $u_{in}B_{in} = u_{out}B_{out} = \eta B_{in}/\delta,$
 $\rho_{in}u_{in}L = \rho_{out}u_{out}\delta,$
 $\Rightarrow \frac{\rho_{out}}{\rho_{out}} \propto Pr_m^{-1}.$

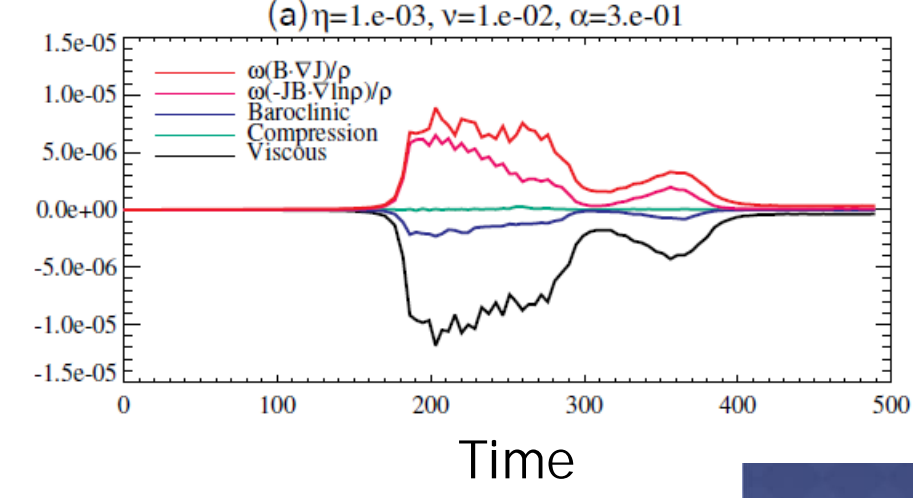


$$\frac{\partial Q}{\partial t} = \underline{-\left[\nabla \cdot (\boldsymbol{u}Q) + Q(\nabla \cdot \boldsymbol{u})\right]} + \left[\underline{\frac{\omega}{\rho} \cdot (\boldsymbol{B} \cdot \nabla) \boldsymbol{j}} - \underline{\frac{(\omega \cdot \boldsymbol{j})}{\rho^2}} (\boldsymbol{B} \cdot \nabla \rho)\right]$$

Enstrophy

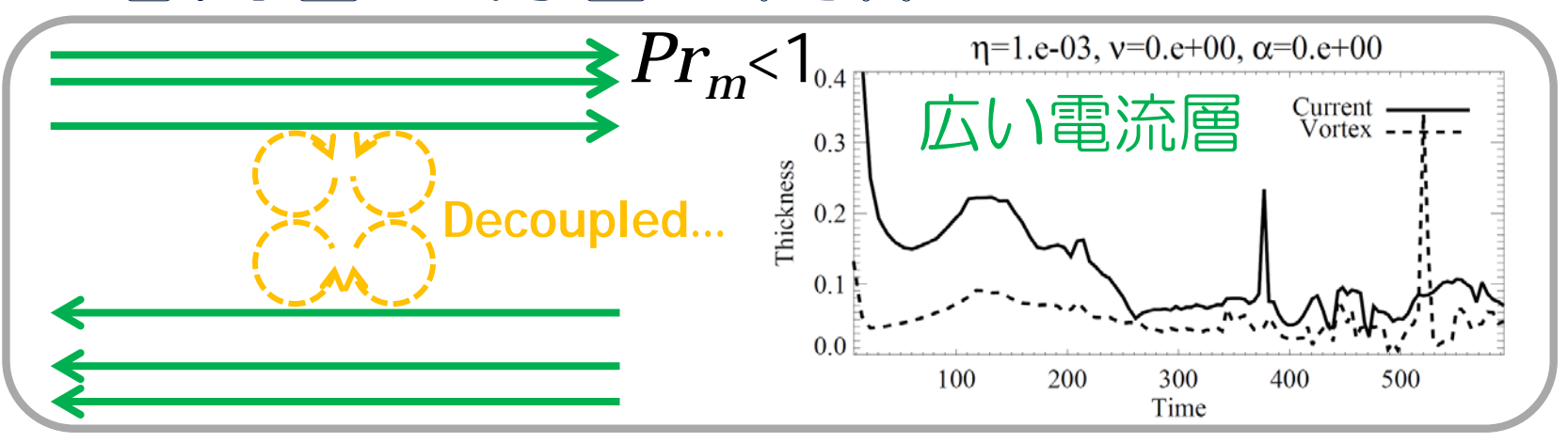
 $-\frac{\omega}{\rho^2} \cdot (\nabla P \times \nabla \rho) + \omega \cdot \nabla \times \left(\frac{1}{\rho} \nabla \cdot \rho \nu \mathbf{S}\right) \cdot (2D, \text{ in-plane } B)$

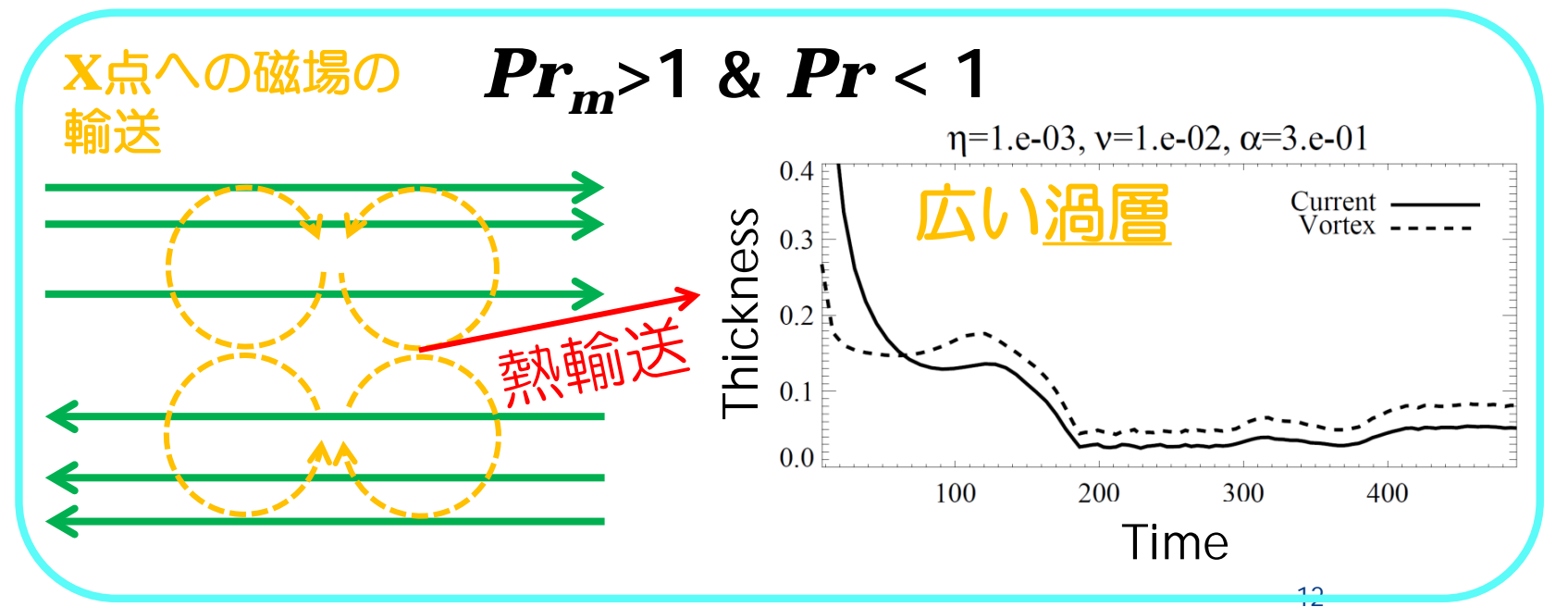




- c) 密度減少からの渦 励起
- D) 粘性による上流へ の渦輸送

電流層と沿層の関係

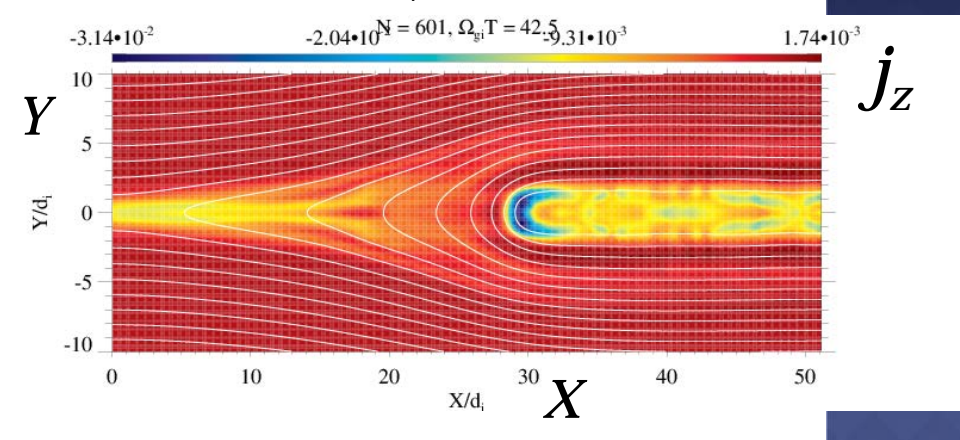


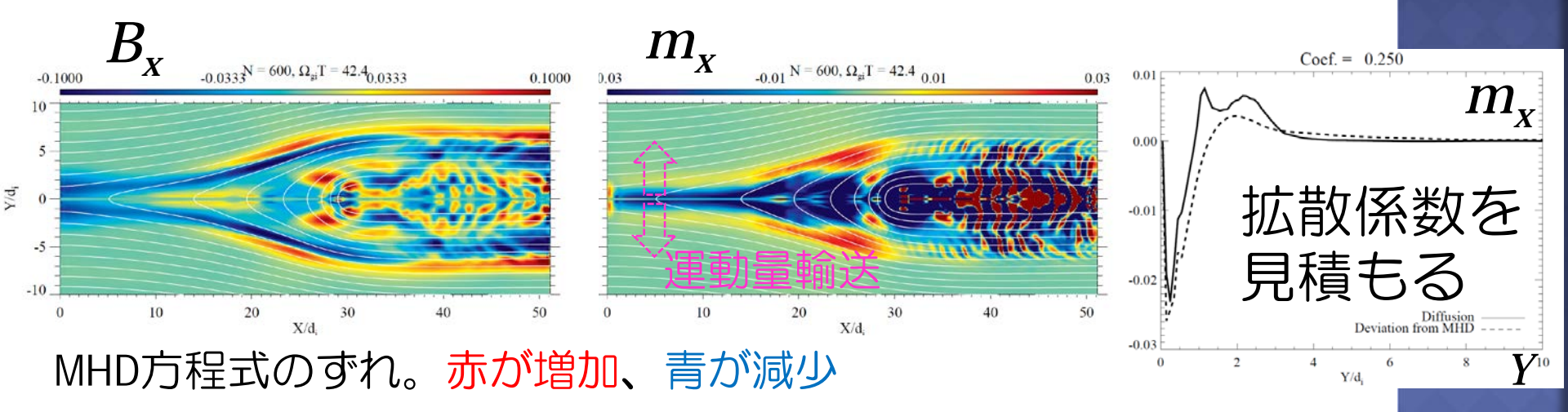


運動論磁気リコネクションと比較

●ブラソフシミュレーションからMHD物理量

$$\begin{split} &\frac{\partial f_s}{\partial t} + \mathbf{v} \cdot \nabla_{\mathbf{x}} f_s + \frac{q_s}{m_s} \left(\mathbf{E} + \frac{\mathbf{v} \times \mathbf{B}}{c} \right) \cdot \nabla_{\mathbf{v}} f_s = 0, \\ &\frac{\partial \mathbf{E}}{\partial t} = c \nabla \times \mathbf{B} - 4\pi \sum_s q_s \int \mathbf{v} f_s d\mathbf{v}, \\ &\frac{\partial \mathbf{B}}{\partial t} = -c \nabla \times \mathbf{E}. \end{split}$$





表とめ

- \odot (磁気) プラントル数Pr, Pr_m はMHD現象のパラメータとなりうる
- \odot 抵抗<粘性<熱伝導(Pr<1, Pr_m >1)のとき、 爆発的な磁気リコネクション
 - 上流への運動量輸送と下流への熱輸送
- 散逸性MHD磁気リコネクションは運動論磁気 リコネクションと整合的かもしれない
- 運動論シミュレーションから拡散係数を見積 もって散逸性MHDへ